

# SnO<sub>2</sub> 薄膜的红外光谱和表面光电压谱的研究

戴国瑞 姜月顺 王雅静 董玺娟 汤大新 李铁津

(吉林大学,长春)

1988年9月23日收到

本文采用 PECVD 方法制备了 SnO<sub>2</sub> 薄膜, 对薄膜进行了红外光谱和表面光电压谱测量发现, 薄膜表面化学吸附 O<sub>2</sub><sup>-</sup> 和 O<sup>-</sup> 离子基团, 成为反应活性中心、电子转移的桥梁, 推测了 SnO<sub>2</sub> 表面与乙醇气体敏感反应历程。SnO<sub>2</sub> 薄膜沉积在 n-Si 上, 使其表面光电压信号增强二个数量级以上, 我们认为是 SnO<sub>2</sub>/n-Si 异质结作用和消反射作用的结果。

**主题词:** SnO<sub>2</sub> 薄膜, 红外光谱, 敏感机理, 表面光电压谱

## 一、引言

近年来, 随着高技术和信息科学的发展, 各种传感器的研究已引起了各国的普遍重视。氧化物半导体 SnO<sub>2</sub> 广泛地应用在微电子学和光电子学器件的研究上, 如液晶手表、发光二极管、仪表显示和太阳能电池等<sup>[1]</sup>。当今, 引起人们极大兴趣的是 SnO<sub>2</sub> 材料对某些气体具有敏感功能特性, 已成为研制气体传感器的基础材料。早在 1962 年田口应用 SnO<sub>2</sub> 材料检测可燃气体<sup>[2]</sup>, 以后出现了商品化的气体传感器。但是, 直到目前为止, 这些实用化的传感器几乎都是烧结型, 元件的重复性和互换性仍有待改进, 生产工艺落后。为此, 能够使用生产集成电路的平面工艺技术, 研制薄膜型、多功能、集成化气体传感器成为当务之急<sup>[3]</sup>。

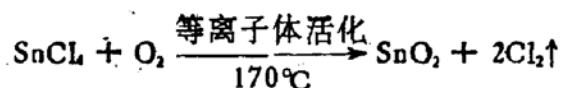
关于 SnO<sub>2</sub> 材料及气敏元件的研究, 人们做了大量的工作<sup>[4]</sup>, 敏感机理相当复杂, 众说纷云<sup>[5]</sup>, 主要有表面电导、晶界势垒和气体吸附电子转移等模型。许多学者采用红外光谱研究不同气体与 SnO<sub>2</sub> 间的气-固相反应, 了解其催化反应机制<sup>[6]</sup>。本工作利用等离子体增强化学气相沉积 (PECVD) 方法制备 SnO<sub>2</sub> 薄膜材料, 借助于红外光谱和表面光电压谱研究 SnO<sub>2</sub> 薄膜的气体吸附和光电特性, 探索其薄膜对乙醇气体的敏感机理, 以利于发展薄膜型 SnO<sub>2</sub> 气体传感器和其它固体薄膜光电转换器件。

## 二、实验

### 1. SnO<sub>2</sub> 薄膜的制备

采用 PECVD 技术<sup>[7]</sup>, 常规半导体工艺清洗硅或陶瓷片作衬底, 烘干, 放入反应室, 抽

真空, 加热至 170—200℃, 通入无水  $\text{SnCl}_4$  和  $\text{O}_2$ , 在高频电场的作用下,  $\text{SnO}_2$  薄膜淀积在硅或其它材料的衬底上, 其反应为



薄膜生长的典型工艺条件: 衬底温度为 170℃, 氧气压强为  $3 \times 10^{-4}$  托,  $\text{SnCl}_4$  源温度为  $-17^\circ\text{C}$ , 等离子体高频电源的频率为 13.5MHz, 功率为 250 瓦。

## 2. 红外吸收光谱测量

$\text{SnO}_2$  薄膜淀积在 KBr 片上, 样品置入红外池中(红外池的窗口为 NaCl 晶片), 通过磨口将红外池与真空系统相连, 真空度可达  $10^{-6}$  托。本工作主要是在空气、真空和含乙醇气体中, 温度变化范围为 15—350℃, 使用 NICOLET-5DX 型傅里叶红外光谱仪进行测量。

## 3. 表面光电压谱测量

表面光电压谱测试采用光化学研究室自制的设备。 $\text{SnO}_2$  薄膜淀积在 n-Si 上, 用导电玻璃(镀有 ITO 的石英玻璃)压紧作电极, 氙灯光源为 500 瓦, 配有锁定放大器、微机数据处理及绘图系统, 对 n-Si 上淀积  $\text{SnO}_2$  薄膜及改变各种处理条件的样品进行表面光电压谱测量。

## 三、实验结果与讨论

### 1. $\text{SnO}_2$ 薄膜的红外光谱

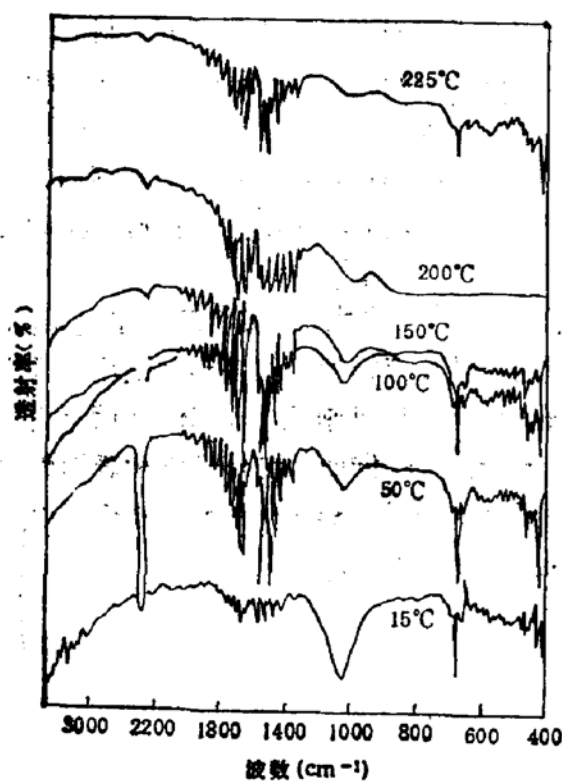


图 1  $\text{SnO}_2$  薄膜红外光谱(在空气中)

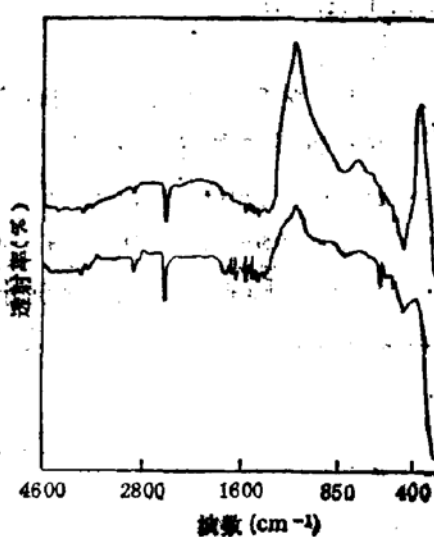


图 2 真空度为  $10^{-4}$  托  $\text{SnO}_2$  薄膜红外光谱

$\text{SnO}_2$  薄膜沉积在 KBr 片子上, 在空气中, 不同温度下进行红外光谱测量, 结果如图 1 所示。1401 和  $572\text{cm}^{-1}$  吸收峰强度随加热温度升高基本不变, 归属于  $\text{SnO}_2$  材料的本征吸收<sup>[3]</sup>,  $1022\text{cm}^{-1}$  是  $\text{SnO}_2$  表面吸附  $\text{O}_2^-$  离子基团中 O-O 振动峰, 随着加热温度升高, 谱峰强度逐渐减弱, 这表明  $\text{O}_2^-$  离子在  $\text{SnO}_2$  表面上加热解吸或进一步反应。

沉积  $\text{SnO}_2$  薄膜样品在真空( $10^{-4}$  托)中加热(300--350°C)下, 测得红外吸收光谱如

图 2 所示。实验结果表明, 除了  $1401\text{cm}^{-1}$  和  $572\text{cm}^{-1}$  吸收峰外, 又看到  $818$  和  $512\text{cm}^{-1}$  吸收峰, 可能是  $\text{SnO}_2$  表面吸附  $\text{O}_2^-$  和  $\text{O}^-$  离子振动吸收峰<sup>[3]</sup>。最后, 在测量系统中充入 15 托的乙醇气体, 样品加热到不同温度进行红外吸收光谱测量, 结果如图 3 所示。

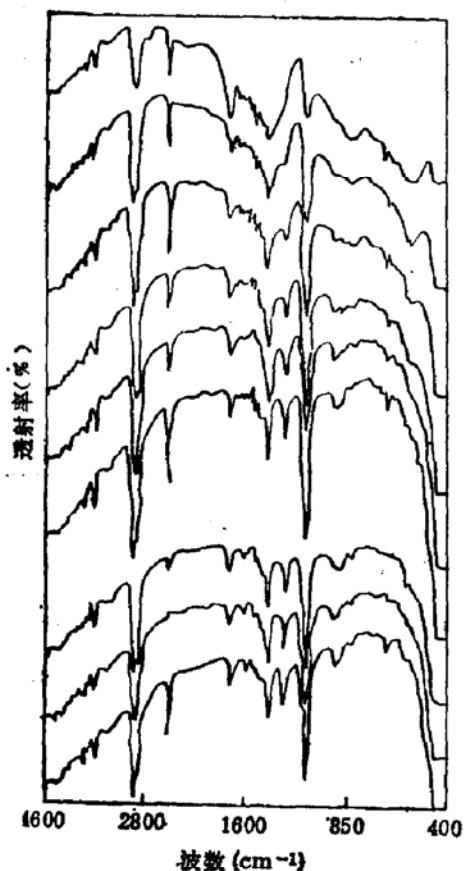


图 3 乙醇气体中  $\text{SnO}_2$  薄膜红外光谱

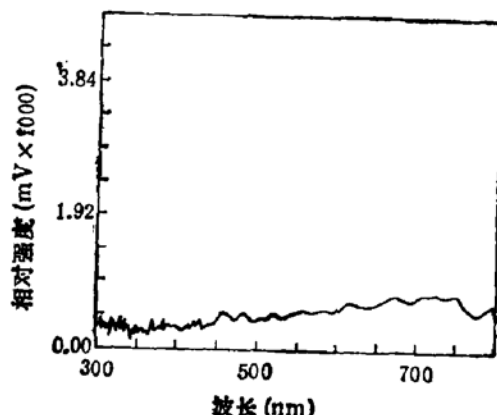


图 4 n-Si 表面光电压谱

由图可以看出,  $3853$  和  $3681\text{cm}^{-1}$  归属于羟基 ( $-\text{OH}$ ) 伸缩振动吸收峰,  $2975$  和  $2902\text{cm}^{-1}$  是甲基 ( $-\text{CH}_3$ ) 和亚甲基 ( $-\text{CH}_2-$ ) 的 C-H 振动吸收峰,  $1731\text{cm}^{-1}$  是

醛类  $\text{C=O}$  振动吸收峰,  $1392\text{cm}^{-1}$  是类酸  $\left(-\text{C}(=\text{O})\text{OH}\right)$  的 C-O 伸缩振动吸收峰, O-H 面内角振动及  $\text{CH}_2-\text{CH}_2-$  振动吸收峰,  $1253\text{cm}^{-1}$  是类醇 OH 弯曲振动和  $\text{C=O}$  振动吸收峰,  $827\text{cm}^{-1}$  是三节环 C-O-C 不对称伸展振动吸收峰或 O-H 骨架振动吸收峰,  $1064\text{cm}^{-1}$  归属于伯醇的 C-O 振动吸收峰。随着样品加热温度的升高,  $2975$ 、 $2902$ 、 $1392$ 、 $1253$  和  $1064\text{cm}^{-1}$  谱峰强度明显地减弱, 而  $1737$  和  $827\text{cm}^{-1}$  谱峰强度增大, 这表明  $\text{SnO}_2$  表面存在复杂的吸附络合物, 乙醇被氧化成醛类物质。

## 2. $\text{SnO}_2$ 薄膜的表面光电压谱

首先测量电阻率为  $0.1\Omega \cdot \text{cm}^{-1}$  n-Si 的表面光电压谱, 如图 4 所示。实验发现, 狭

缝为 0.6 时，在 300—800nm 内，都有表面光电压响应，其峰值为 780nm 处。

采用  $\text{SnO}_2$  薄膜制备的典型条件，在 n-Si 上淀积约 3000 Å 厚的薄膜材料，狭缝为 0.068，对样品  $\text{SnO}_2/\text{n-Si}$  进行表面光电压谱测量，其实验结果如图 5 所示。在 650—750 nm 处呈现出最大的光电压响应，其强度增加二个数量级以上，这种光电压的表面增强效应很值得重视。

如果样品  $\text{SnO}_2/\text{n-Si}$  在空气中加热(200℃)处理 4 小时，狭缝为 0.56，测得的表面光电压谱强度有所减弱，如图 6 所示。同样，在氢气中退火，也观察到了表面光电压信号发生类似变化趋势。可以认为退火处理使超微粒  $\text{SnO}_2$  薄膜的组成、结构发生变化，晶体间界势垒增高，对光生载流子的阻力变大。

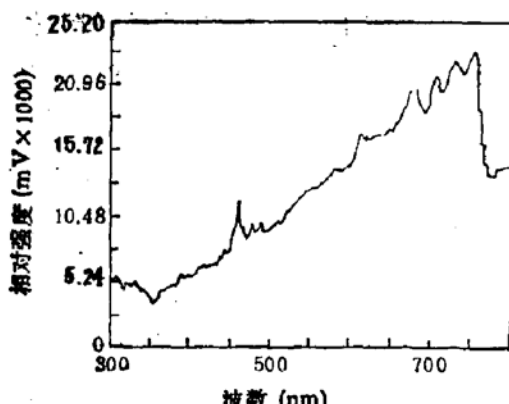


图 5  $\text{SnO}_2/\text{n-Si}$  表面光电压谱

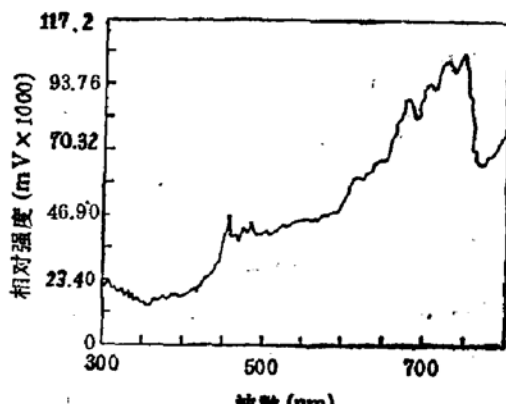
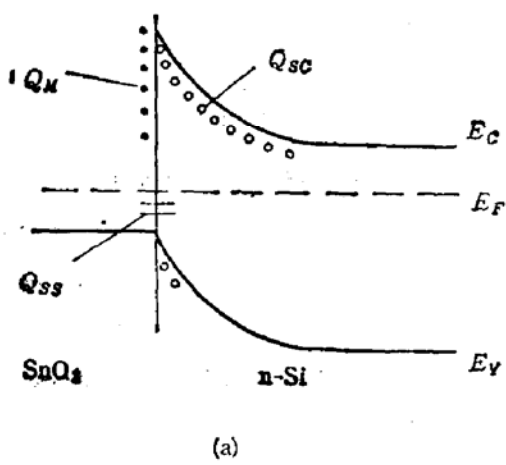
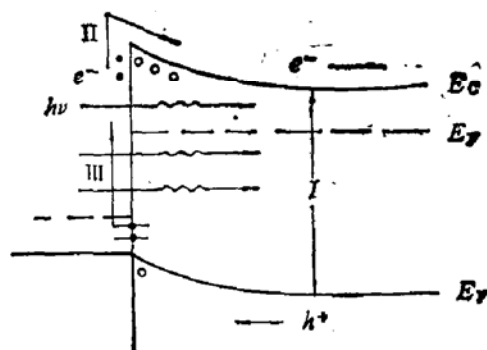


图 6  $\text{SnO}_2/\text{n-Si}$  在空气中退火的表面光电压谱

在各种条件下，通过对  $\text{SnO}_2/\text{n-Si}$  表面光电压谱测量表明， $\text{SnO}_2$  薄膜对 n-Si 的表面光电压信号有很大的增强效应。我们认为主要是由于  $\text{SnO}_2$  和 n-Si 间形成异质结<sup>[14]</sup>，能带结构和光照激发过程如图 7(a) 和 (b) 所示。



(a)



(b)

图 7 (a)  $\text{SnO}_2/\text{n-Si}$  异质结能级图  $Q_M$ : 空间电荷  $Q_M$ :  $\text{SnO}_2$  中电荷  
 $Q_{ss}$ : 表面态 (b) 光照激发过程

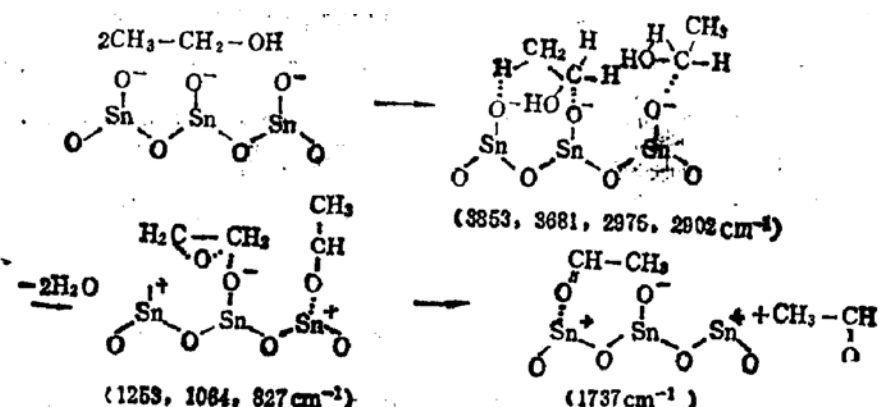
$\text{SnO}_2$  薄膜 ( $< 6000 \text{ \AA}$ ) 的透射率大于 90%，在可见光区具有良好的透光性<sup>[14]</sup>，故  $\text{SnO}_2$  薄膜存在对 n-Si 单晶光吸收影响不大。根据本征光电导的吸收限波长 ( $\lambda_0$ ) 与半导体材料禁带宽度 ( $E_g$ ) 的关系：

$$\lambda_0 = \frac{h\nu}{E_g}$$

由计算表明, 可见光照射在  $\text{SnO}_2/\text{n-Si}$  异质结上, 电子-空穴对主要产生在 Si 单晶一侧。 $\text{SnO}_2$  禁带中存在大量的电子陷阱能级<sup>[12]</sup>, 薄膜中存在足够多的电荷。异质结在光照激发条件下, 可能存在三种激发过程(忽略光在  $\text{SnO}_2$  中的本征吸收), 即产生 Si 中电子-空穴对本征激发(I)、 $\text{SnO}_2$  中电荷(II) 和界面态电荷(III) 激发, 如图 7(b) 所示。其次,  $\text{SnO}_2$  薄膜具有较好的消反射作用, 提高硅的光吸收, 因此,  $\text{SnO}_2$  薄膜可以造成电子-空穴对的有效分离, 大大地增强 n-Si 的表面光电压响应。

### 3. 气敏机理的推测

由上述红外光谱测量结果出发, 根据有机化学  $\alpha\text{C}$  和  $\beta\text{H}$  具有较高活性的规律, 我们初步推测乙醇气体对  $\text{SnO}_2$  薄膜的化学反应:



为了研究  $\text{SnO}_2$  薄膜表面吸附氧对敏感机理的作用, 将  $\text{SnO}_2$  薄膜淀积在  $\text{SiO}_2$ -Si 的绝缘衬底上, 并置入可以加热的电导池中, 真空度为  $10^{-6}$  托, 测量真空、充  $\text{O}_2$ 、充乙醇气体时  $\text{SnO}_2$  薄膜电阻的变化, 其实验结果如图 8 所示。

由图可以看出, 在真空( $10^{-6}$  托)或只存在乙醇气体(10 托)的条件下,  $\text{SnO}_2$  薄膜电阻不随加热温度变化, 充入  $\text{O}_2$ (20 托)后, 薄膜电阻随温度升高而增大, 再充入乙醇(10 托)时, 薄膜电阻随温度升高而下降。这一实验结果表明,  $\text{O}_2$  在  $\text{SnO}_2$  薄膜表面上是离子吸附, 存在电子转移, 故引起电阻变化, 对乙醇敏感起着重要的作用。

总之,  $\text{SnO}_2$  薄膜对乙醇敏感反应可分为以下几步:

- (1) 薄膜表面吸附  $\text{O}^-$  离子成为反应的活化中心。室温下  $\text{SnO}_2$  表面化学吸附  $\text{O}_2$  分子, 抽取  $\text{SnO}_2$  中电子形成  $\text{O}_2^-$  离子:

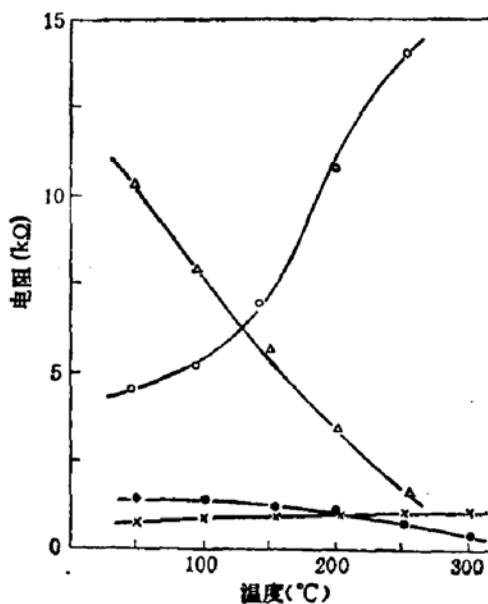
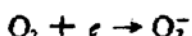
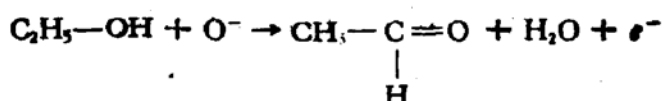


图 8  $\text{SnO}_2$  薄膜电阻与加热温度关系: -•-: 真空度为  $10^{-6}$  托; \*-\*: 真空度为  $10^{-6}$  托, 充入乙醇气体压强为 10 托; o-o:  $\text{O}_2$  压强为 20 托; △-△:  $\text{O}_2$  压强为 20 托, 乙醇气体压强为 10 托



(2) 乙醇分子同  $\text{O}_2^-$  离子之间发生化学吸附, 形成吸附络合物, 并被氧化生成醛类和水:



(3) 生成新的气体分子解吸, 离开  $\text{SnO}_2$  薄膜的表面。

#### 四、结 论

本文采用 PECVD 方法制备了  $\text{SnO}_2$  薄膜材料, 通过红外光谱和表面光电压谱测量表明,  $\text{SnO}_2$  薄膜表面吸附  $\text{O}_2^-$ 、 $\text{O}_2^+$  和  $\text{O}_2^{+/-}$  离子, 加热到 250℃, 以  $\text{O}_2^-$  离子吸附为主, 它是酒敏传感器敏感反应的活性中心, 电子转移的桥梁, 并推测了  $\text{SnO}_2$  薄膜对乙醇气体敏感机理。 $\text{SnO}_2$  薄膜对 n-Si 表面光电压信号产生  $10^2$  倍以上的增强效应。我们期待  $\text{SnO}_2$  薄膜气体传感器早日达到实用化程度, 进一步地开发  $\text{SnO}_2$  薄膜材料的应用。

#### 参 考 文 献

- [1] J. C. Manifacier *Thin Solid Films*, 90, 297(1982).
- [2] 田口, 日本特许公报, 昭 45-38200, 出愿昭 37.
- [3] J. C. Anderson, *J. Vac. Sci. Technol.*, A4(3), 610(1986).
- [4] J. F. McMeekin, P. T. Moseley, J. W. Norris and D. Williams, *J. Chem. Soc. Faraday Trans.*, II, 4, 1323(1987).
- [5] W. Göped, *Solid State Phys.*, 20, 177(1980).
- [6] E. W. Thornton and P. G. Harrison, *J. Chem. Soc. Faraday Trans.*, I, 81, 1329(1985).
- [7] 吕德安和戴国瑞, 吉林大学自然科学学报, 1, 43 (1988).
- [8] D. R. Secret and J. D. Mackerizie, *Ceramic Bulletin*, 45, 9(1966).
- [9] B. V. Amsterdam, *J. of Molecular Structure*, 105, 11(1983).
- [10] H. P. Maruska, A. K. Ghosh, D. J. Eustace and T. Feng, *J. Appl. Phys.*, 54, 2489(1983).
- [11] J. Melsheimer and D. Ziegler, *Thin Solid Films*, 109, 71(1983).
- [12] J. E. Houston and E. E. Kohnke, *J. Appl. Phys.*, 36, 3931(1965).

## Study on IR SPV Spectram of the $\text{SnO}_2$ Films

Dai Guorui, Jiang Yueshun, Wang Yajing, Dong Xijuan

Tang Daxin and Li Tiejin

(Jilin University, Changchun)

### Abstract

This paper reports the preparation of the tin dioxide films deposited at 170°C by means of the plasma enhanced chemical vapor deposition (PECVD) and measurements of infrared spectrum and surface photovoltaic spectrum. The experimental results show that two species of  $\text{O}^{\frac{1}{2}-}$  and  $\text{O}^-$  are chemisorbed on the surface of the  $\text{SnO}_2$  films as sensing activators of the reaction and medium of the charge transfer. The sensing mechanism of the  $\text{SnO}_2$  films to the alcohol ( $\text{C}_2\text{H}_5\text{-OH}$ ) is given. For a  $\text{SnO}_2$  film deposited on an n-Si wafer, the surface photovoltaic relative intensity increases over two orders of magnitude. We attribute the effect to the action of the heterojunction and antireflection.

**KEY WORDS:**  $\text{SnO}_2$  films, Infrared spectroscopy, Sensing mechanism, Surface photovoltaic spectroscopy